

01;03

О внутреннем нелинейном резонансном трехмодовом взаимодействии осцилляций заряженной капли

© С.О. Ширяева, Д.Ф. Белоножко, А.И. Григорьев

Ярославский государственный университет им. П.Г. Демидова,
150000 Ярославль, Россия
e-mail: grig@uniyar.ac.ru

(Поступило в Редакцию 30 июня 2004 г.)

Впервые обнаружено различие в особенностях реализации внутренних нелинейных трехмодовых вырожденных и комбинационных резонансов: во-первых, энергия, вложенная в начальную деформацию капли, переносится только от низких мод к высоким; во-вторых, в обоих направлениях. Оказалось, что вырожденные резонансы малочувствительны к значениям физических величин (например, к величине электрического заряда), определяющих точные положения резонансов: отклонения от резонансных значений сказываются лишь на доле энергии, участвующей в обмене между модами, и длительности характерного времени резонансного обмена энергией, само же взаимодействие остается резонансным.

1. Внутреннее нелинейное резонансное взаимодействие мод осцилляций заряженной капли электропроводной несжимаемой жидкости среди прочих нелинейных эффектов, связанных с нелинейными осцилляциями капли, занимает в проводимых исследованиях видное место: начиная с первых работ на эту тему, появившихся двадцать лет назад [1–5], и до настоящего времени [6–18] более трех четвертей публикаций так или иначе его затрагивают. Причина такого интереса в том, что резонансное взаимодействие обеспечивает наиболее быстрое и эффективное перераспределение энергии начальной деформации капли между модами, возбуждающимися за счет нелинейного взаимодействия, и тем самым оказывает определяющее влияние как на закономерности реализации нелинейных осцилляций (и связанными с ними акустическим и электромагнитным излучениями [12,14]), так и на закономерности распада капли, несущей заряд, близкий к критическому в смысле линейной устойчивости [2,5,9,11,15,17]. Но, несмотря на значительное количество публикаций, посвященных резонансному взаимодействию мод, на многие вопросы, с ним связанные, ответа пока не получено. Так, до сих пор не исследован вопрос о направлении перекачки энергии между модами при резонансном взаимодействии. Первыми были открыты и исследованы так называемые вырожденные трехмодовые резонансы [1–3], в которых одна из двух взаимодействующих мод дважды взаимодействует с другой. В [10,16] было показано, что в таких резонансах энергия перекачивается только в направлении от низких мод к высоким, что, вообще говоря, не согласуется с представлениями о „распадной неустойчивости“ при трехмодовых взаимодействиях [19]. В работе [13] было обнаружено, что распадная неустойчивость может иметь место при истинно трехмодовых резонансах (вторичных комбинационных резонансах): было показано, что существует несколько резонансных ситуаций, в которых энергия перекачивается из высоких мод в третью, но особенности такого взаимодействия

(характерное время взаимодействия и его глубина) исследованы не были. В [17] было показано, что в четырехмодовых взаимодействиях энергия также может перекачиваться от высоких мод к низким, но с малой интенсивностью, поскольку эти взаимодействия реализуются только в третьем порядке малости. Исследование возможности перекачки энергии из высоких мод нелинейных осцилляций к низким (точнее говоря, к основной моде) представляет существенный интерес в связи с обсуждающимся в научной литературе механизмом инициирования разряда молнии коронным разрядом в окрестности крупной сильно заряженной капли [15,18].

В связи с вышесказанным в настоящей работе проводится детальное исследование закономерностей перераспределения энергии между модами в вырожденных и во вторичных комбинационных резонансах при трехмодовом взаимодействии.

2. Рассмотрим эволюцию во времени формы поверхности нелинейно осциллирующей капли идеальной несжимаемой проводящей жидкости с плотностью ρ , коэффициентом поверхностного натяжения γ и электрическим зарядом Q , однородно распределенным по ее поверхности. В начальный момент времени $t = 0$ равновесная сферическая форма капли с радиусом R претерпевает осесимметричное возмущение фиксированной амплитуды, существенно меньшей радиуса капли. Зададимся целью найти спектр возникающих капиллярных осцилляций капли (форму капли) при $t > 0$.

Примем, что форма капли осесимметрична как в начальный, так и во все последующие моменты времени и уравнение, описывающее ее поверхность, в сферической системе координат с началом в центре масс капли в безразмерных переменных, в которых $\rho = R = \gamma = 1$, имеет вид

$$r(\theta, t) = 1 + \xi(\theta, t); \quad |\xi| \ll 1. \quad (1)$$

Движение жидкости в капле будем полагать потенциальным с потенциалом поля скоростей движе-

ния жидкости в капле $\psi(\mathbf{r}, t)$; само поле скоростей $\mathbf{V}(\mathbf{r}, t)$ при этом определяется через градиент потенциала $\mathbf{V}(\mathbf{r}, t) = \text{grad}(\phi(\mathbf{r}, t))$. Принимая, что скорости гидродинамических движений жидкости в капле много меньше скорости распространения электромагнитных взаимодействий, электрическое поле заряда Q в окрестности капли будем считать электростатическим и станем описывать его с помощью потенциала $\Phi(\mathbf{r}, t)$, с которым напряженность поля \mathbf{E} связана известным соотношением $\mathbf{E} = -\text{grad}(\Phi)$.

Математическая формулировка решаемой задачи имеет вид

$$\Delta\psi(\mathbf{r}, t) = 0; \quad \Delta\Phi(\mathbf{r}, t); \quad (2)$$

$$r \rightarrow 0: \quad \psi(\mathbf{r}, t) \rightarrow 0; \quad (3)$$

$$r \rightarrow \infty: \quad |\text{grad}(\Phi(\mathbf{r}, t))| \rightarrow 0; \quad (4)$$

$$r = 1 + \xi(\theta, t): \quad \frac{\partial \xi}{\partial t} = \frac{\partial \psi}{\partial r} - \frac{1}{r^2} \frac{\partial \psi}{\partial \theta}; \quad (5)$$

$$\Delta p - \frac{\partial \psi}{\partial t} - \frac{1}{2} (\nabla \psi)^2 + \frac{1}{8\pi} (\nabla \Phi)^2 = \text{div } \mathbf{n}; \quad (6)$$

$$\Phi(r, \theta, t) = \text{const}; \quad (7)$$

$$\int_V r^2 dr \sin \theta d\theta d\varphi = \frac{4}{3\pi},$$

$$V = [0 \leq r \leq 1 + \xi(\theta, t), \quad 0 \leq \theta \leq \pi, \quad 0 \leq \varphi \leq 2\pi]; \quad (8)$$

$$\int_V \mathbf{e}_r \cdot r^3 dr \sin \theta d\theta d\varphi = 0; \quad (9)$$

$$-\frac{1}{4\pi} \oint_S (\mathbf{n} \cdot \nabla \Phi) ds = Q,$$

$$S = [r = 1 + \xi(\theta, t), \quad 0 \leq \theta \leq \pi, \quad 0 \leq \varphi \leq 2\pi]; \quad (10)$$

$$t = 0: \quad \xi(\theta) = \xi_0 P_0(\mu) + \xi_1 P_1(\mu) + \varepsilon \sum_{i \in \Xi} h_i P_i(\mu);$$

$$\sum_{i \in \Xi} h_i = 1; \quad \frac{\partial \xi(\theta, t)}{\partial t} = 0. \quad (11)$$

Поскольку условия (8), (9) должны выполняться в любой момент времени, в том числе и в начальный, то при $t = 0$ они определяют амплитуды нулевой и первой мод в разложении начального возмущения равновесной сферической формы поверхности капли $\xi(\theta)$ в ряд по полиномам Лежандра, т.е. амплитуды нулевой и первой мод не могут быть произвольны, но будут зависеть от вида начальной деформации.

В выражениях (6)–(11) введены обозначения: $\mu = \cos \theta$; Δp — перепад постоянных давлений внутри и вне капли в состоянии равновесия; \mathbf{n} — единичный вектор нормали к поверхности (1); ε — амплитуда начального возмущения формы поверхности капли, являющаяся малым параметром задачи; $P_i(\mu)$ — полиномы Лежандра порядка i ; h_i — коэффициенты, определяющие парциальный вклад i -й колебательной моды в суммарное начальное возмущение; Ξ —

множество значений номеров изначально возбужденных колебательных мод; ξ_0 и ξ_1 — константы, определяемые из условий (8) и (9) в начальный момент времени с точностью до слагаемых второго порядка малости по ε , равные

$$\xi_0 \approx -\varepsilon^2 \sum_{m=1}^{\infty} \frac{h_m^2}{(2i+1)} + O(\varepsilon^3);$$

$$\xi_1 \approx -\varepsilon^2 \sum_{i \in \Xi} \frac{9ih_{i-1}h_i}{(2i-1)(2i+1)} + O(\varepsilon^3). \quad (12)$$

3. Для отыскания решения поставленной задачи воспользуемся методом многих масштабов, как это делалось в задачах этого типа в [2,5–7,9–18]. Искомые функции $\xi(\theta, t)$, $\psi(\mathbf{r}, t)$, $\Phi(\mathbf{r}, t)$ представим в виде рядов по степеням малого параметра ε и будем считать зависящими не просто от времени t , а от разных его масштабов, определенных через малый параметр ε : $T_m \equiv \varepsilon^m t$

$$\xi(\theta, t) = \sum_{m=1}^{\infty} \varepsilon^m \xi^{(m)}(\theta, T_0, T_1, \dots);$$

$$\psi(\mathbf{r}, t) = \sum_{m=1}^{\infty} \varepsilon^m \psi^{(m)}(r, \theta, T_0, T_1, \dots);$$

$$\Phi(\mathbf{r}, t) = \sum_{m=0}^{\infty} \varepsilon^m \Phi^{(m)}(r, \theta, T_0, T_1, \dots). \quad (13)$$

Ограничимся рассмотрением поставленной задачи в квадратичном приближении, в рамках которого можно определить зависимость искомых величин от двух временных масштабов T_0 и T_1 .

Подставляя разложения (13) в систему (2)–(11) и приравнявая слагаемые, содержащие одинаковые степени параметра ε , получим набор краевых задач для определения функций $\xi^{(m)}$, $\psi^{(m)}$, $\Phi^{(m)}$. Очевидно, что линейным уравнениям (2) должна удовлетворять каждая из функций $\psi^{(m)}$, $\Phi^{(m)}$.

В нулевом порядке малости получим выражения для электростатического потенциала в окрестности равновесной сферической капли, обладающей зарядом Q : $\Phi^{(0)} = Q/r$.

Решения уравнений (2) для функции первого и второго порядков малости, удовлетворяющие условиям ограниченности (3), (4), запишем в виде

$$\psi^{(m)}(r, \theta, T_0, T_1) = \sum_{n=1}^{\infty} D_n^{(m)}(T_0, T_1) r^n \cdot P_n(\mu) \quad (m = 1, 2);$$

$$\Phi^{(m)}(r, \theta, T_0, T_1) = \sum_{n=0}^{\infty} F_n^{(m)}(T_0, T_1) r^{-(n+1)} P_n(\mu). \quad (14)$$

Последовательные поправки к равновесной поверхности капли также представим в виде разложений по

полиномам Лежандра

$$\xi^{(m)}(\theta, T_0, T_1) = \sum_{n=0}^{\infty} M_n^{(m)}(T_0, T_1) P_n(\mu) \quad (m = 1, 2). \quad (15)$$

Подставляя решения (14), (15) при $m = 1$ в систему граничных условий первого порядка малости, полученную из (5)–(7), после соответствующих преобразований получим дифференциальные уравнения относительно коэффициентов $M_n^{(1)}(T_0, T_1)$

$$\frac{\partial M_n^{(1)}(T_0, T_1)}{\partial T_0^2} + \omega_n^2 M_n^{(1)}(T_0, T_1) = 0;$$

$$\omega_n^2 = n(n-1)((n+2)-W); \quad W = \frac{Q^2}{4\pi}. \quad (16)$$

Решением уравнения (16) являются гармонические функции с коэффициентами, зависящими от времени T_1 ,

$$M_n^{(1)}(T_0, T_1) = A_n^{(1)}(T_1) \exp(i\omega_n T_0) + \text{к.с.};$$

$$A_n^{(1)}(T_1) = a_n^{(1)}(T_1) \exp(ib_n^{(1)}(T_1)) \quad (n \geq 2). \quad (17)$$

Здесь и далее аббревиатура к.с. обозначает сопряженные, комплексно-сопряженные к выписанным; $a_n^{(1)}(T_1)$ и $b_n^{(1)}(T_1)$ — вещественные функции, зависимость которых от времени T_1 может быть определена только при рассмотрении задачи следующего порядка малости.

Из условий (9), (10), записанных в линейном по малой величине ε приближении, следует, что

$$M_0^{(1)}(T_0, T_1) = 0; \quad M_1^{(1)}(T_0, T_1) = 0. \quad (18)$$

Отметим, что формально выражения (18) не противостоят уравнениям (16) для $n = 0$ и $n = 1$.

Удовлетворяя начальным условиям (1) в первом приближении по ε , получим

$$a_i^{(1)}(0) = \frac{1}{2} h_i; \quad b_i^{(1)}(0) = 0 \quad (i \in \Xi);$$

$$a_n^{(1)}(0) = 0; \quad b_n^{(1)}(0) = 0 \quad (n \notin \Xi). \quad (19)$$

Решения первого порядка (17), (18) и решения (14), (15) при $m = 2$ подставим в полученную из (5)–(7) систему граничных условий второго порядка малости и после громоздких преобразований получим уравнение относительно неизвестных коэффициентов $M_n^{(2)}(T_0, T_1)$

$$\frac{\partial M_n^{(2)}(T_0, T_1)}{\partial T_0^2} + \omega_n^2 M_n^{(2)}(T_0, T_1) = -2i\omega_n \frac{dA_n^{(1)}(T_1)}{dT_1}$$

$$\times \exp(i\omega_n T_0) + \sum_{l=2}^{\infty} \sum_{m=2}^{\infty} \left\{ (\gamma_{lmn} + \omega_l \omega_m \eta_{lmn}) A_l^{(1)}(T_1) A_m^{(1)}(T_1) \right.$$

$$\times \exp(i(\omega_l + \omega_m) T_0) + (\gamma_{lmn} - \omega_l \omega_m \eta_{lmn}) A_l^{(1)}(T_1) \overline{A_m^{(1)}(T_1)}$$

$$\left. \times \exp(i(\omega_l - \omega_m) T_0) + \text{к.с.} \right\};$$

$$\gamma_{ijn} = K_{ijn} \left[\omega_i^2 (n-i+1) + 2n(j(j+1)-1) + (j(i+1) - i(2i-2n+7)+3)n \frac{W}{2} \right] + \alpha_{ijn} \left[\frac{1}{i} \omega_i^2 + n \frac{W}{2} \right];$$

$$\eta_{ijn} = K_{ijn} \left(\frac{n}{2} - i + 1 \right) + \alpha_{ijn} \frac{1}{i} \left(1 + \frac{n}{2j} \right);$$

$$K_{ijn} = [C_{i0j0}^{n0}]^2;$$

$$\alpha_{ijn} = -\sqrt{i(i+1)j(j+1)} C_{i0j0}^{n0} C_{i(-1)j1}^{n0}. \quad (20)$$

Здесь C_{i0j0}^{n0} , $C_{i(-1)j1}^{n0}$ — коэффициенты Клебша–Гордана. Они отличны от нуля, только если нижние индексы удовлетворяют следующим соотношениям:

$$|i-j| \leq n \leq (i+j); \quad (i+j+n) = 2g. \quad (21)$$

Поэтому во втором порядке малости будут возбуждаться только колебания мод, номера которых удовлетворяют (21).

4. Из второй части (20) можно заметить, что если для каких-либо трех мод колебаний поверхности капли с номерами p, q, k выполняется одно из соотношений

$$\omega_p + \omega_q = \omega_k, \quad \omega_p - \omega_q = \omega_k, \quad (22)$$

то в соответствии с общей идеологией метода многих масштабов эти моды вступают в резонансное взаимодействие, при этом говорят о вторичном (поскольку проявляется лишь во втором порядке малости) комбинационном резонансе.

Заметим, что, согласно (16), значения частот собственных колебаний поверхности капли ω_n зависят от величины заряда на капле (от параметра W). Причем при значении $W_{cr} = 4$ частота колебаний основной моды ($n = 2$) обращается в нуль, дальнейшее же увеличение W приводит к тому, что поверхность капли становится неустойчивой по отношению к собственному заряду. Поэтому вторичные резонансы оказывают влияние на нелинейные осцилляции капли и их имеет смысл исследовать только в том случае, если соотношения (22) выполняются при $W < W_{cr}$. В работе [2] был обнаружен резонанс подобного типа для случая, когда $\omega_6 = 2\omega_4$, а в [11,13,15] показано, что общее количество резонансов при $W < 4$ весьма велико и при $p, q, k < 100$ их количество измеряется сотнями.

Пусть индекс n нумерует моды, возбуждающиеся за счет нелинейного взаимодействия во втором порядке малости, а индексы k, p, q — моды, связанные резонансным взаимодействием.

а) Рассмотрим вначале случай $n \neq k, p, q$, т.е. когда мода n не связана никаким резонансным соотношением, а условие исключения секулярных членов и членов с малыми знаменателями из решения уравнения (20) имеет простой вид,

$$\frac{dA_n^{(1)}(T_1)}{dt} = 0.$$

Из этого равенства, используя выражение для $A_n^{(1)}(T_1)$ через скалярные функции $a_n^{(1)}(T_1)$ и $b_n^{(1)}(T_1)$ (см. (18)) и требуя обращения в нуль действительной и мнимой частей, несложно получить

$$\frac{da_n^{(1)}(T_1)}{dt} = \frac{db_n^{(1)}(T_1)}{dt} = 0.$$

Эти равенства означают, что $a_n^{(1)}(T_1)$ и $b_n^{(1)}(T_1)$ не зависят от медленного времени T_1 и в рамках рассмотрения задачи во втором порядке малости их можно считать константами, равными своим начальным значениям (19). Выражение (17) для коэффициентов первого порядка малости $M_n^{(1)}(t)$ в разложении возмущения формы равновесной поверхности $\xi^{(1)}(\theta, t)$ в ряд по полиномам Лежандра (15) примет вид

$$M_n^{(1)}(t) = \delta_{n,i} h_i \cos(\omega_i t); \quad i \in \Xi; \quad n \neq k, p, q, \quad (23)$$

$\delta_{n,i}$ — дельта-символ Кронекера.

Амплитуды поправок второго порядка малости, получаемые при решении уравнения (20), в рассматриваемой ситуации примут вид

$$\begin{aligned} M_n^{(2)}(t) = & \sum_{i \in \Xi} \sum_{j \in \Xi} h_i h_j \left\{ \lambda_{ijn}^{(+)} \sin\left(\frac{1}{2}(\omega_n + \omega_i + \omega_j)t\right) \right. \\ & \times \sin\left(\frac{1}{2}(\omega_n - \omega_i - \omega_j)t\right) + \lambda_{ijn}^{(-)} \sin\left(\frac{1}{2}(\omega_n + \omega_i - \omega_j)t\right) \\ & \left. \times \sin\left(\frac{1}{2}(\omega_n - \omega_i + \omega_j)t\right) \right\} \quad (n \geq 2; \quad n \neq p, q, k); \\ \lambda_{ijn}^{(\pm)} \equiv & (\gamma_{ijn} \pm \omega_i \omega_j \eta_{ijn}) (\omega_n^2 - (\omega_i \pm \omega_j)^2)^{-1}. \quad (24) \end{aligned}$$

б) При анализе уравнения (20) для мод с $n = k, p, q$, чтобы отразить близость комбинации частот $\omega_p - \omega_q$ к частоте ω_k , введем параметр расстройки $\sigma \sim O(1)$, определяемый соотношением

$$\omega_p - \omega_q = \omega_k (1 + \varepsilon \cdot k). \quad (25)$$

Отметим, что параметр расстройки можно связать с величиной собственного заряда капли (с величиной параметра W), имея в виду, что, варьируя заряд капли, можно изменять частоту осцилляций, уводя ее от положения точного резонанса.

Если (25) подставить в (20), то в правой части уравнения (20) для рассматриваемых случаев появятся слагаемые, содержащие следующие множители:

$$\begin{aligned} \exp(i(\omega_p - \omega_q)T_0) &= \exp(i(\omega_k + \varepsilon\omega_k\sigma)T_0) \\ &= \exp(i\sigma\omega_k T_1) \exp(i\omega_k T_0); \end{aligned}$$

$$\begin{aligned} \exp(i(\omega_k + \omega_q)T_0) &= \exp(i(\omega_p - \varepsilon\omega_k\sigma)T_0) \\ &= \exp(-i\sigma\omega_k T_1) \exp(i\omega_p T_0); \end{aligned}$$

$$\begin{aligned} \exp(i(\omega_p - \omega_k)T_0) &= \exp(i(\omega_q + \varepsilon\omega_k\sigma)T_0) \\ &= \exp(i\sigma\omega_k T_1) \exp(i\omega_q T_0), \end{aligned}$$

а условия исключения секулярных членов из решения уравнения (20) для $n = k, p, q$ запишутся в виде

$$\begin{aligned} -2i\omega_k \frac{dA_k^{(1)}(T_1)}{dt} + \Lambda_{pqk}^{(-)} \exp(i\sigma\omega_k T_1) A_p^{(1)}(T_1) \overline{A_q^{(1)}(T_1)} &= 0; \\ -2i\omega_p \frac{dA_p^{(1)}(T_1)}{dt} + \Lambda_{kqp}^{(+)} \exp(-i\sigma\omega_k T_1) A_k^{(1)}(T_1) \overline{A_q^{(1)}(T_1)} &= 0; \\ -2i\omega_q \frac{dA_q^{(1)}(T_1)}{dt} + \Lambda_{pkq}^{(-)} \exp(i\sigma\omega_k T_1) A_p^{(1)}(T_1) \overline{A_k^{(1)}(T_1)} &= 0; \\ \Lambda_{lmn}^{(\pm)} &= (\gamma_{lmn} + \gamma_{mln}) \pm \omega_l \omega_m (\eta_{lmn} + \eta_{mln}). \quad (26) \end{aligned}$$

Приравнявая нулю действительную и мнимую части выражений (26) и вводя новую функцию

$$\beta_k^{(1)}(T_1) = \sigma\omega_k T_1 - b_k^{(1)}(T_1), \quad (27)$$

получим систему дифференциальных уравнений относительно вещественных функций $a_k^{(1)}(T_1)$, $\beta_k^{(1)}(T_1)$, $a_p^{(1)}(T_1)$, $b_p^{(1)}(T_1)$, $a_q^{(1)}(T_1)$, $b_q^{(1)}(T_1)$

$$\begin{aligned} 2\omega_k \frac{da_k^{(1)}(T_1)}{dT_1} &= \Lambda_{pqk}^{(-)} a_p^{(1)}(T_1) a_q^{(1)}(T_1) \sin(\varphi_{kpq}^{(1)}(T_1)); \\ 2\omega_k a_k^{(1)}(T_1) \frac{d\beta_k^{(1)}(T_1)}{dT_1} &= 2\omega_k^2 a_k^{(1)}(T_1) \sigma + \Lambda_{pqk}^{(-)} a_p^{(1)}(T_1) \\ & \quad \times a_q^{(1)}(T_1) \cos(\varphi_{kpq}^{(1)}(T_1)); \\ 2\omega_p \frac{da_p^{(1)}(T_1)}{dT_1} &= -\Lambda_{kqp}^{(+)} a_k^{(1)}(T_1) a_q^{(1)}(T_1) \sin(\varphi_{kpq}^{(1)}(T_1)); \\ 2\omega_p a_p^{(1)}(T_1) \frac{db_p^{(1)}(T_1)}{dT_1} &= -\Lambda_{kqp}^{(+)} a_k^{(1)}(T_1) a_q^{(1)}(T_1) \cos(\varphi_{kpq}^{(1)}(T_1)); \\ 2\omega_q \frac{da_q^{(1)}(T_1)}{dT_1} &= \Lambda_{pkq}^{(-)} a_p^{(1)}(T_1) a_k^{(1)}(T_1) \sin(\varphi_{kpq}^{(1)}(T_1)); \\ 2\omega_q a_q^{(1)}(T_1) \frac{db_q^{(1)}(T_1)}{dT_1} &= -\Lambda_{pkq}^{(-)} a_p^{(1)}(T_1) a_k^{(1)}(T_1) \cos(\varphi_{kpq}^{(1)}(T_1)); \\ \varphi_{kpq}^{(1)}(T_1) &= \beta_k^{(1)}(T_1) + b_p^{(1)}(T_1) - b_q^{(1)}(T_1). \quad (28) \end{aligned}$$

Начальными условиями для уравнений (28) служат соотношения (19), причем из требования непротиворечивости системы (28) при $t = 0$ получаем, что если какая-либо из мод k, p или q не присутствует в спектре изначально возбужденных мод Ξ , т.е. ее амплитуда в начальный момент времени равна нулю, то ее фаза при $t = 0$ не произвольна, а равна $\pi/2$. В итоге начальные условия для системы (28) можно записать в следующей компактной форме:

$$\begin{aligned} a_j^{(1)}(0) &= \delta_{i,j} h_j / 2; & b_j^{(1)}(0) &= \pm(1 - \delta_{i,j}) \pi / 2; \\ i \in \Xi; & & j &= k, p, q. \quad (29) \end{aligned}$$

Коэффициенты первого порядка в разложении (15) для резонансно взаимодействующих мод k, p, q запишутся в виде (см. (17))

$$\begin{aligned} M_k^{(1)}(t) &= 2a_k^{(1)}(\varepsilon t) \cos((\omega_p - \omega_q)t - \beta_k^{(1)}(\varepsilon t)); \\ M_p^{(1)}(t) &= 2a_p^{(1)}(\varepsilon t) \cos(\omega_p t + b_p^{(1)}(\varepsilon t)); \\ M_q^{(1)}(t) &= 2a_q^{(1)}(\varepsilon t) \cos(\omega_q t + b_q^{(1)}(\varepsilon t)), \end{aligned} \quad (30)$$

где коэффициенты $a_k^{(1)}(T_1), \beta_k^{(1)}(T_1), a_p^{(1)}(T_1), b_p^{(1)}(T_1), a_q^{(1)}(T_1), b_q^{(1)}(T_1)$ являются решениями системы уравнений (28) с начальными условиями (29).

Отметим, что в используемом приближении (до второго порядка включительно) резонансное взаимодействие трех мод будет проявляться лишь в том случае, когда хотя бы две из них присутствуют в спектре мод, возбужденных в начальный момент Ξ , т.е. их амплитуды при $t = 0$ должны быть отличны от нуля. Третья же мода, даже имея нулевую начальную амплитуду, появится в спектре колебаний первого порядка малости, если ее номер удовлетворяет соотношениям вида $p + q + k$ — четно; $|p - q| \leq k \leq (p + q)$ (для случая $p, q \in \Xi; k \notin \Xi$), возникающим из требования отличия от нуля коэффициентов $\Lambda_{pqk}^{(-)}, \Lambda_{kqp}^{(+)}, \Lambda_{pkq}^{(-)}$ в уравнениях (28).

Результаты расчета по соотношениям (28)–(30) при $\varepsilon = 0.3$ временной эволюции амплитуд первого порядка малости резонансно взаимодействующих при $W = 1.649$ четвертой, пятой и седьмой мод, когда начальная деформация определена четвертой и седьмой модами, представлены на рис. 1. Видно, что возбуждение отсутствовавшей в спектре начального возмущения пятой моды происходит за счет резонансной перекачки энергии из наиболее высокой седьмой моды. Видно также, что часть энергии седьмой моды передается и четвертой, амплитуда которой увеличивается синхронно с амплитудой пятой моды, т.е. имеет место передача энергии

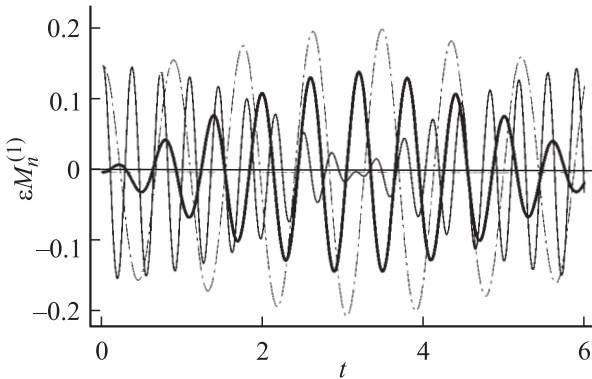


Рис. 1. Зависимости от безразмерного времени безразмерных амплитуд $M_n^{(1)}$ резонансно взаимодействующих четвертой, пятой и седьмой мод нелинейных капиллярных осцилляций заряженной капли в положении точного резонанса $W = 1.649$. Тонкая кривая — седьмая мода, жирная кривая — пятая, штрихпунктир — четвертая.

от высокой моды к более низким в соответствии с представлениями о распаднй неустойчивости.

в) Рассмотрим теперь случай вырожденного резонанса, когда одна из мод дважды резонансно взаимодействует с другой, т.е. когда $\omega_s = 2\omega_k$.

Проводя такой же анализ, как описано выше, получим для временных коэффициентов первого порядка малости в разложении (15)

$$\begin{aligned} M_s^{(1)}(t) &= 2a_s^{(1)}(\varepsilon t) \cos(2\omega_s t - \beta_s^{(1)}(\varepsilon t)); \\ M_k^{(1)}(t) &= 2a_k^{(1)}(\varepsilon t) \cos(2\omega_k t + b_k^{(1)}(\varepsilon t)), \end{aligned} \quad (31)$$

где вещественные функции $a_s^{(1)}(\varepsilon t), \beta_s^{(1)}(\varepsilon t), a_k^{(1)}(\varepsilon t), \beta_k^{(1)}(\varepsilon t)$ являются решениями системы дифференциальных уравнений

$$\begin{aligned} 4\omega_s \frac{da_s^{(1)}(T_1)}{dT_1} &= \Lambda_{kks}^{(+)}(a_k^{(1)}(T_1))^2 \sin(\varphi_{sk}^{(1)}(T_1)); \\ 4\omega_s a_s^{(1)}(T_1) \frac{d\beta_s^{(1)}(T_1)}{dT_1} &= 4\omega_s^2 a_s^{(1)}(T_1) \sigma \\ &\quad + \Lambda_{kks}^{(+)}(a_k^{(1)}(T_1))^2 \cos(\varphi_{sk}^{(1)}(T_1)); \\ 2\omega_k \frac{da_k^{(1)}(T_1)}{dT_1} &= -\Lambda_{skk}^{(-)} a_s^{(1)}(T_1) a_k^{(1)}(T_1) \sin(\varphi_{sk}^{(1)}(T_1)); \\ 2\omega_k a_k^{(1)}(T_1) \frac{d\beta_k^{(1)}(T_1)}{dT_1} &= -\Lambda_{skk}^{(-)} a_s^{(1)}(T_1) a_k^{(1)}(T_1) \cos(\varphi_{sk}^{(1)}(T_1)); \\ \varphi_{sk}^{(1)}(T_1) &= \beta_s^{(1)}(T_1) + 2\beta_k^{(1)}(T_1); \\ \beta_s^{(1)}(T_1) &= \sigma \omega_s T_1 - b_s^{(1)}(T_1). \end{aligned} \quad (32)$$

Из соотношений (19) следует, что для системы (32) возможны следующие комбинации начальных условий:

$$\begin{aligned} [s, k] \in \Xi : \quad a_s^{(1)}(0) &= h_s/2; \quad \beta_s^{(1)}(0) = 0; \\ a_k^{(1)}(0) &= h_k/2; \quad b_k^{(1)}(0) = 0; \\ s \notin \Xi, k \in \Xi : \quad a_s^{(1)}(0) &= 0; \quad \beta_s^{(1)}(0) = \pi/2; \\ a_k^{(1)}(0) &= h_k/2; \quad b_k^{(1)}(0) = 0. \end{aligned}$$

В ситуации, когда $k \notin \Xi, s \in \Xi$ (т.е. когда $a_k^{(1)}(0) = 0, a_s^{(1)}(0) = h_s/2$), резонансное взаимодействие мод s и k в используемом приближении иметь места не будет, так как из системы (32) при $t = 0$ получим, что

$$\frac{da_s^{(1)}(0)}{dT_1} = \frac{da_k^{(1)}(0)}{dT_1} = 0,$$

т.е. амплитуды $a_k^{(1)}$ и $a_s^{(1)}$ сохраняют свои начальные значения.

На рис. 2, а представлены временные зависимости амплитуд $M_4^{(1)}(t)$ и $M_6^{(1)}(t)$ резонансно взаимодействующих четвертой и шестой мод, рассчитанные в положении точного резонанса $W_r = 2.66667$ при $\varepsilon = 0.3$,

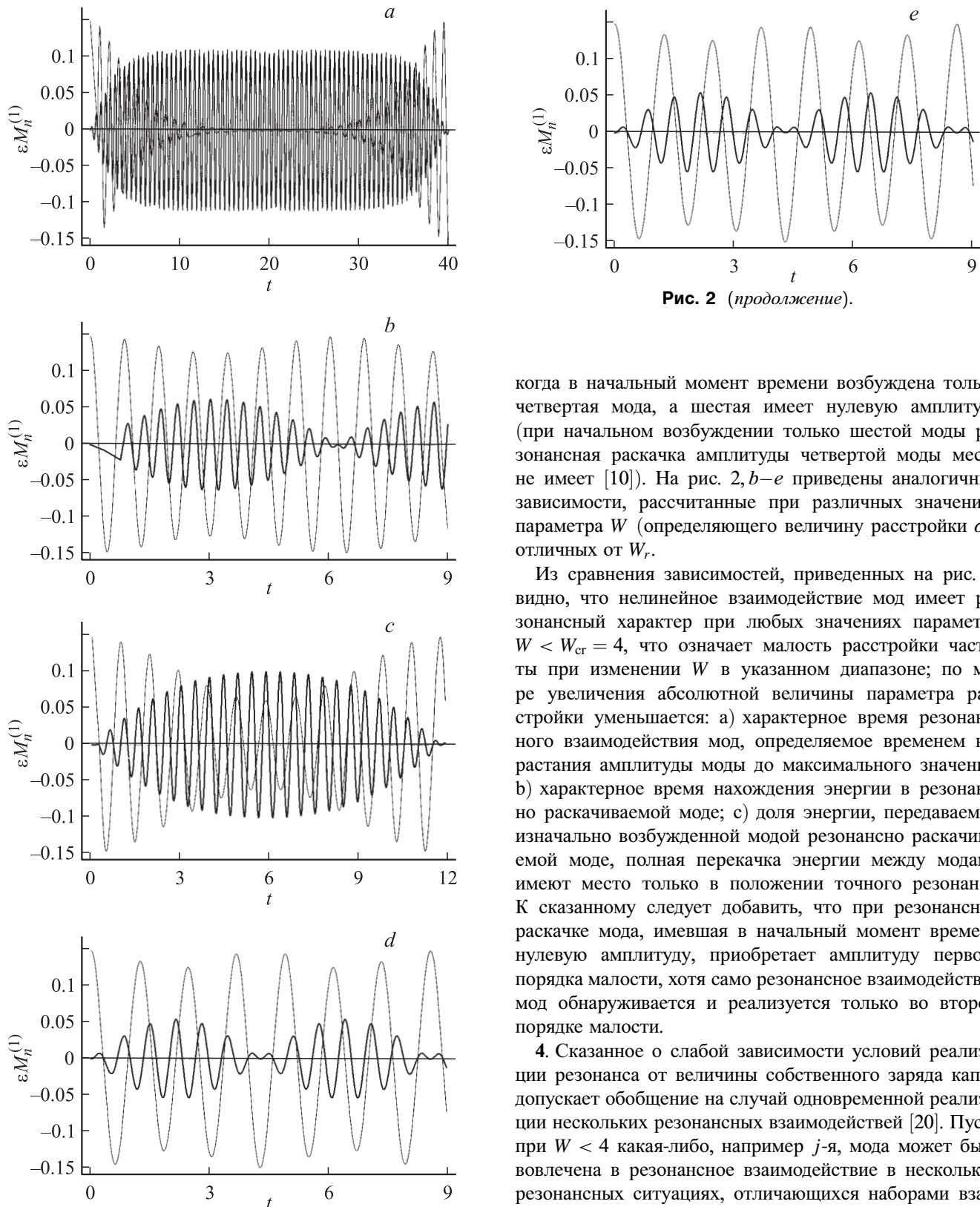


Рис. 2 (продолжение).

когда в начальный момент времени возбуждена только четвертая мода, а шестая имеет нулевую амплитуду (при начальном возбуждении только шестой моды резонансная раскачка амплитуды четвертой моды места не имеет [10]). На рис. 2, *b–e* приведены аналогичные зависимости, рассчитанные при различных значениях параметра W (определяющего величину расстройки σ), отличных от W_r .

Из сравнения зависимостей, приведенных на рис. 2, видно, что нелинейное взаимодействие мод имеет резонансный характер при любых значениях параметра $W < W_{cr} = 4$, что означает малость расстройки частоты при изменении W в указанном диапазоне; по мере увеличения абсолютной величины параметра расстройки уменьшается: а) характерное время резонансного взаимодействия мод, определяемое временем нарастания амплитуды моды до максимального значения; б) характерное время нахождения энергии в резонансно раскачиваемой моде; в) доля энергии, передаваемой изначально возбужденной модой резонансно раскачиваемой моде, полная перекачка энергии между модами имеют место только в положении точного резонанса. К сказанному следует добавить, что при резонансной раскачке мода, имевшая в начальный момент времени нулевую амплитуду, приобретает амплитуду первого порядка малости, хотя само резонансное взаимодействие мод обнаруживается и реализуется только во втором порядке малости.

4. Сказанное о слабой зависимости условий реализации резонанса от величины собственного заряда капли допускает обобщение на случай одновременной реализации нескольких резонансных взаимодействий [20]. Пусть при $W < 4$ какая-либо, например j -я, мода может быть вовлечена в резонансное взаимодействие в нескольких резонансных ситуациях, отличающихся наборами взаимодействующих мод и величинами W , соответствующими положениям точных резонансов. Например, пусть j -я мода участвует в двух резонансных ситуациях: j, i, k при $W_r = C_1$ и j, nm при $W_r = C_2$, где $C_1, C_2 < 4$. Тогда при возбуждении j -й моды с ней будут резонансно взаимодействовать моды из обеих возможных резонансных

Рис. 2. Зависимости от безразмерного времени безразмерных амплитуд резонансно взаимодействующих четвертой и шестой мод: *a* — в положении точного резонанса $W = 2.66667$, *b* — $W = 1.5$, *c* — $W = 2.5$, *d* — $W = 3$, *e* — $W = 3.9$. Тонкая линия — четвертая мода, толстая — шестая.

ситуаций: *i*-я, *k*-я, *n*-я и *m*-я. Амплитуды мод, резонансно раскачиваемых за счет взаимодействия с *j*-й в каждой из комбинаций, будут зависеть от величины параметра расстройки для данной ситуации (т.е. от отклонения истинного значения параметра *W* от резонансных значений *C*₁ и *C*₂). Так, при рассмотрении только первых десяти мод четвертая мода может участвовать в следующих резонансных взаимодействиях: при *W* = 0.612 четвертая мода резонансно взаимодействует с шестой и восьмой; при *W* = 1.649 — с пятой и седьмой; при *W* = 2.66667 — дважды с шестой (случай вырожденного резонанса, рассмотренный выше); при *W* = 3.623 — с третьей и пятой [167]. Таким образом, виртуально возбужденная четвертая мода при любом *W* < 4 может резонансно взаимодействовать со всеми перечисленными выше модами, степень же взаимодействия (доля передаваемой энергии) будет зависеть от величины расстройки в каждой из возможных комбинаций.

Проанализируем ситуацию, когда мода с номером *k* участвует одновременно в двух резонансных взаимодействиях: в одном вырожденном двухмодовом и одном невырожденном трехмодовом. Введем для обеих резонансных ситуаций параметры расстройки σ_1 и σ_2

$$\omega_p - \omega_q = \omega_k(1 + \varepsilon \cdot \sigma_1); \quad 2\omega_k = \omega_s(1 + \varepsilon \sigma_2).$$

Проводя анализ этого случая аналогично тому, как это делалось выше, получим, что амплитуды первого порядка малости для мод *p*, *q*, *k* имеют вид (28), а для моды *s* получим

$$M_s^{(1)}(t) = 2a_s^{(1)}(\varepsilon t) \cos(2(\omega_p - \omega_q)t - \beta_s^{(1)}(\varepsilon t)).$$

Функции $\beta_s^{(1)}(\varepsilon t)$ из последнего выражения и $\beta_k^{(1)}(\varepsilon t)$ из (28) определены следующим образом:

$$\beta_k^{(1)}(T_1) = \sigma_1 \omega_k T_1 - b_k^{(1)}(T_1);$$

$$\beta_s^{(1)}(T_1) = (\sigma_2 \omega_s + 2\sigma_1 \omega_k) T_1 - b_s^{(1)}(T_1).$$

Система дифференциальных уравнений относительно вещественных функций $a_p^{(1)}(\varepsilon t)$, $b_p^{(1)}(\varepsilon t)$, $a_q^{(1)}(\varepsilon t)$, $b_q^{(1)}(\varepsilon t)$; $a_s^{(1)}(\varepsilon t)$, $\beta_s^{(1)}(\varepsilon t)$, $a_k^{(1)}(\varepsilon t)$, $\beta_k^{(1)}(\varepsilon t)$ включает в себя третье, четвертое, пятое и шестое уравнения системы (28), а также уравнения

$$2\omega_k \frac{da_k^{(1)}(T_1)}{dT_1} = \Lambda_{pqk}^{(-)} a_p^{(1)}(T_1) a_q^{(1)}(T_1) \sin(\varphi_{kpq}^{(1)}(T_1)) - \Lambda_{skk}^{(-)} a_s^{(1)}(T_1) a_k^{(1)}(T_1) \sin(\varphi_{skk}^{(1)}(T_1));$$

$$2\omega_k a_k^{(1)}(T_1) \frac{d\beta_k^{(1)}(T_1)}{dT_1} = 2\omega_k^2 a_k^{(1)}(T_1) \sigma_1 + \Lambda_{pqk}^{(-)} a_p^{(1)}(T_1) a_q^{(1)}(T_1) \cos(\varphi_{kpq}^{(1)}(T_1)) + \Lambda_{skk}^{(-)} a_s^{(1)}(T_1) a_k^{(1)}(T_1) \cos(\varphi_{skk}^{(1)}(T_1));$$

$$4\omega_s \frac{da_s^{(1)}(T_1)}{dT_1} = \Lambda_{kks}^{(+)} (a_p^{(1)}(T_1))^2 \sin(\varphi_{sk}^{(1)}(T_1));$$

$$4\omega_s a_s^{(1)}(T_1) \frac{d\beta_s^{(1)}(T_1)}{dT_1} = 4\omega_s (\sigma_2 \omega_s + 2\sigma_1 \omega_k) a_s^{(1)}(T_1) + \Lambda_{kks}^{(+)} (a_k^{(1)}(T_1))^2 \cos(\varphi_{sk}^{(1)}(T_1));$$

$$\varphi_{sk}^{(1)}(T_1) = \beta_s^{(1)}(T_1) - 2b_k^{(1)}(T_1). \quad (33)$$

Начальные условия для системы решаемых уравнений можно записать в виде (29), но $j = k, p, q, s$.

На рис. 3, *a* приведены результаты расчета по системе (33), дополненной третьим, четвертым, пятым и шестым уравнениями системы (28), временных зависимостей резонансно взаимодействующих мод, в том числе и резонансно раскачиваемых пятой и шестой мод при тех же начальных условиях, что и на рис. 1 (в условиях точного резонанса четвертой, пятой и седьмой мод, когда начальная деформация задается четвертой и седьмой модами). Видно, что имеет место перекачка энергии седьмой моды во все моды с меньшими номерами. Интересно, что шестая мода в вырожденном резонансе с четвертой модой раскачивается за счет энергии четвертой моды [10] (см. также рис. 2), тем не менее из рис. 3 видно, что амплитуда четвертой моды не только не уменьшается, а немного увеличивается синхронно с пятой и шестой модами. Иными словами, перекачка

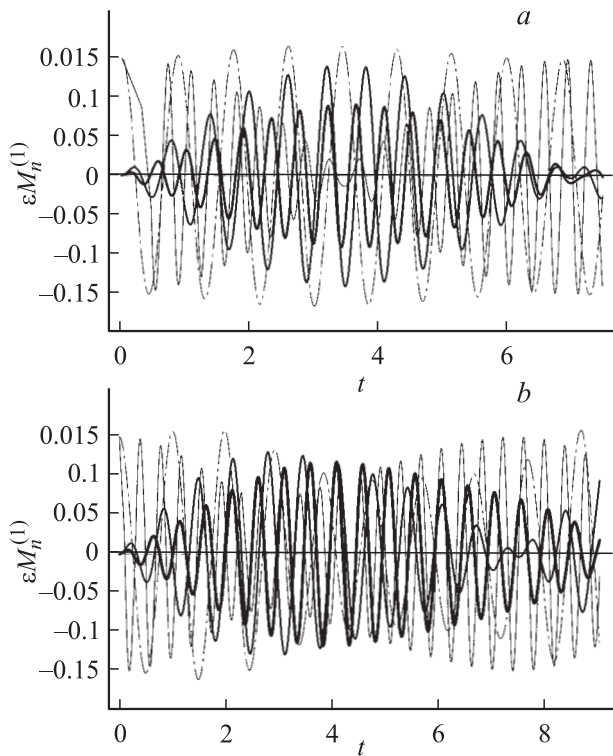


Рис. 3. Зависимости от безразмерного времени безразмерных амплитуд резонансно взаимодействующих четвертой, пятой, шестой и седьмой мод при *W* = 1.649 (*a*), 2.66667 (*b*). Тонкая кривая — седьмая мода, жирная — шестая, полужирная — пятая, штрихпунктир — четвертая.

энергии из седьмой моды в четвертую не только полностью компенсирует затраты энергии четвертой моды на раскачку шестой, но и приводит к ее увеличению.

На рис. 3, *b* приведены результаты аналогичных расчетов, выполненных при $W = 2.66667$, т.е. в условиях точного вырожденного резонанса между четвертой и шестой модами с теми же начальными условиями, что и на рис. 3, *a*. Видно, что в этом случае в отличие от ситуации, проиллюстрированной рис. 3, *a*, энергию отдают и четвертая и седьмая моды, а сами временные зависимости амплитуд резонансно раскачиваемых пятой и шестой мод становятся асимметричными.

Заключение

При значениях параметра Рэлея (характеризующего собственный заряд капли), меньших критического, для основной моды при $W < 4$ расстройка частот возбуждающихся мод достаточно мала, чтобы нелинейное взаимодействие мод носило резонансный характер при любых W , независимо от величины резонансных значений W_r в положениях точных резонансов. Величина расстройки отражается лишь на доле передаваемой энергии и характерных временах этого процесса.

Механизм распада нелинейно осциллирующей заряженной капли при малой величине собственного заряда может быть связан с нелинейной резонансной перекачкой энергии капиллярных осцилляций капли из высоких мод в низкие.

Распадная неустойчивость при трехмодовых резонансах реализуется только для комбинационных резонансов, а для вырожденных резонансов она места не имеет.

Работа выполнена при поддержке РФФИ (грант № 03-01-00760).

Список литературы

- [1] Tsamopoulos J.A., Brown R.A. // J. Fluid Mech. 1983. Vol. 127. P. 519–537.
- [2] Tsamopoulos J.A., Brown R.A. // J. Fluid Mech. 1984. Vol. 147. P. 373–395.
- [3] Natarajan R., Brown R.A. // Phys. Fluids. 1986. Vol. 29. N 9. P. 2788–2797.
- [4] Natarajan R., Brown R.A. // J. Fluid Mech. 1987. Vol. 183. P. 95–121.
- [5] Natarajan R., Brown R.A. // Proc. Roy. Soc. (London). 1987. Vol. A410. P. 209–227.
- [6] Feng Z.C., Leal L.G. // Phys. Fluids. 1993. Vol. A5. N 4. P. 826–836.
- [7] Feng Z.C., Leal L.G. // Phys. Fluids. 1995. Vol. 7. N 6. P. 1325–1336.
- [8] Feng Z.C., Su Y.H. // Phys. Fluids. 1997. Vol. 9. N 3. P. 519–529.
- [9] Feng Z.C. // J. Fluid Mech. 1997. Vol. 333. P. 1–21.
- [10] Ширяева С.О. // Письма в ЖТФ. 2000. Т. 26. Вып. 22. С. 76–83.

- [11] Ширяева С.О., Григорьев А.И., Белоножко Д.Ф. // Письма в ЖТФ. 2003. Т. 29. Вып. 6. С. 69–75.
- [12] Ширяева С.О. // ЖТФ. 2002. Т. 72. Вып. 4. С. 15–22.
- [13] Ширяева С.О., Белоножко Д.Ф., Григорьев А.И. // Письма в ЖТФ. 2002. Т. 28. Вып. 22. С. 45–51.
- [14] Ширяева С.О. // ЖТФ. 2003. Т. 73. Вып. 2. С. 19–30.
- [15] Ширяева С.О., Григорьев А.И., Белоножко Д.Ф. // Письма в ЖТФ. 2003. Т. 29. Вып. 6. С. 69–75.
- [16] Ширяева С.О. // Письма в ЖТФ. 2003. Т. 29. Вып. 17. С. 28–35.
- [17] Ширяева С.О., Жаров А.Н., Григорьев А.И. // ЖТФ. 2004. Т. 74. Вып. 1. С. 10–20.
- [18] Григорьев А.И., Ширяева С.О., Волкова М.В. // ЖТФ. 2003. Т. 73. Вып. 11. С. 31–36.
- [19] Рабинович М.И., Трубецков Д.И. Введение в теорию колебаний и волн. М.: Наука, 1984. 432 с.
- [20] Бреховских Л.М., Гончаров В.В. Введение в механику сплошных сред. М.: Наука, 1982. 439 с.